

Fig. 1A

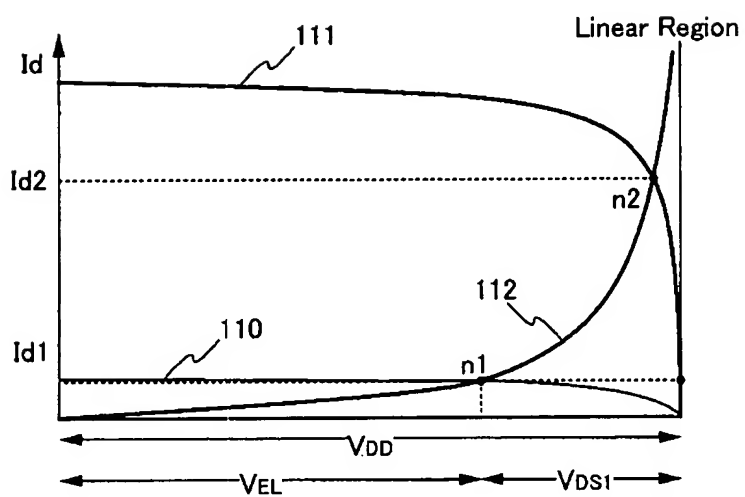


Fig. 1B

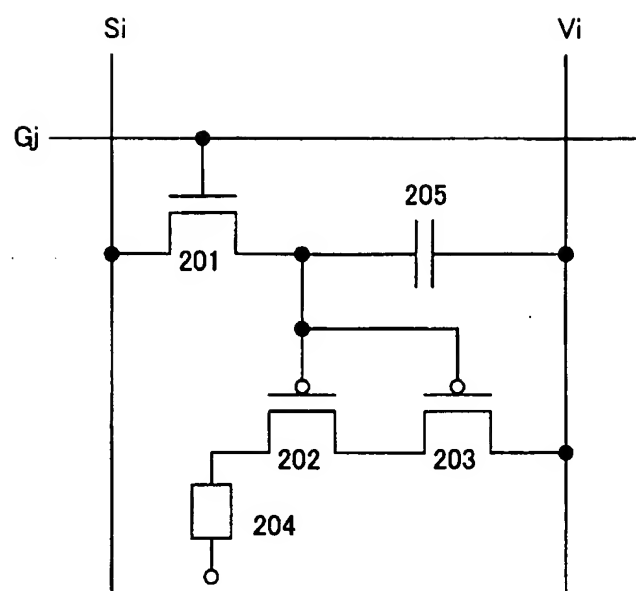


Fig. 2

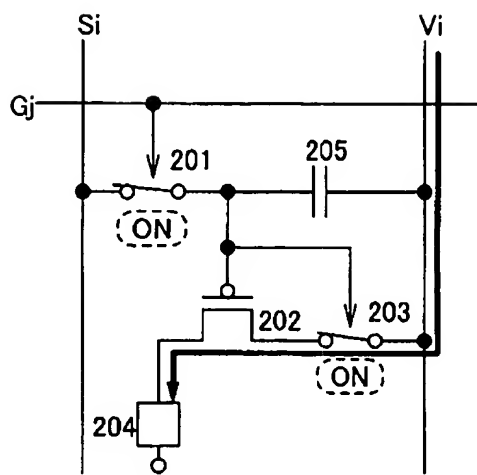


Fig. 3A

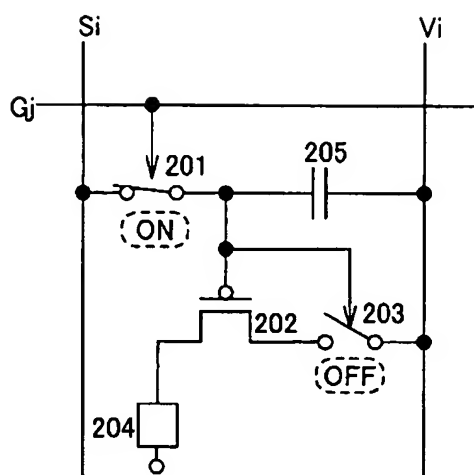


Fig. 3B

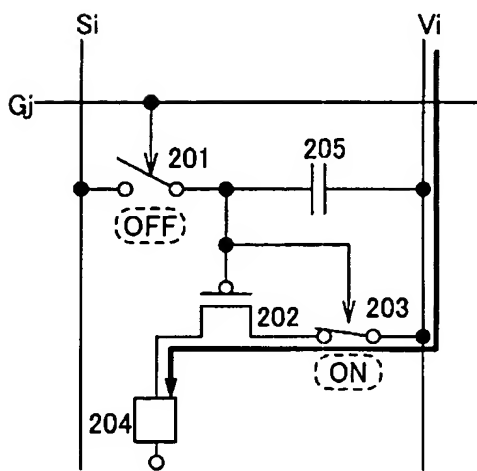


Fig. 3C

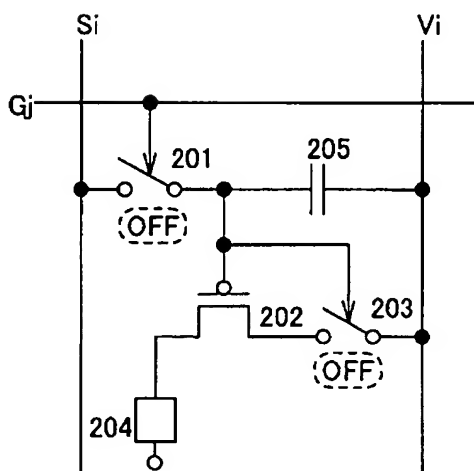


Fig. 3D

Fig. 4A

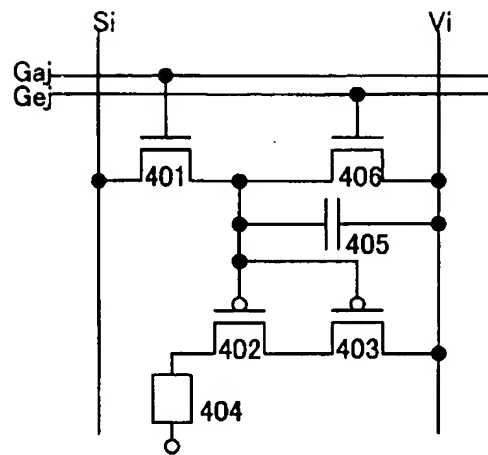
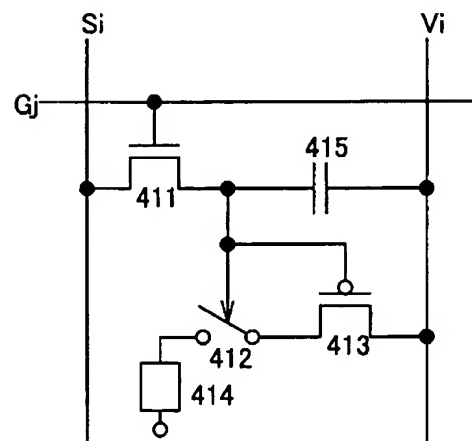


Fig. 4B



BEST AVAILABLE COPY

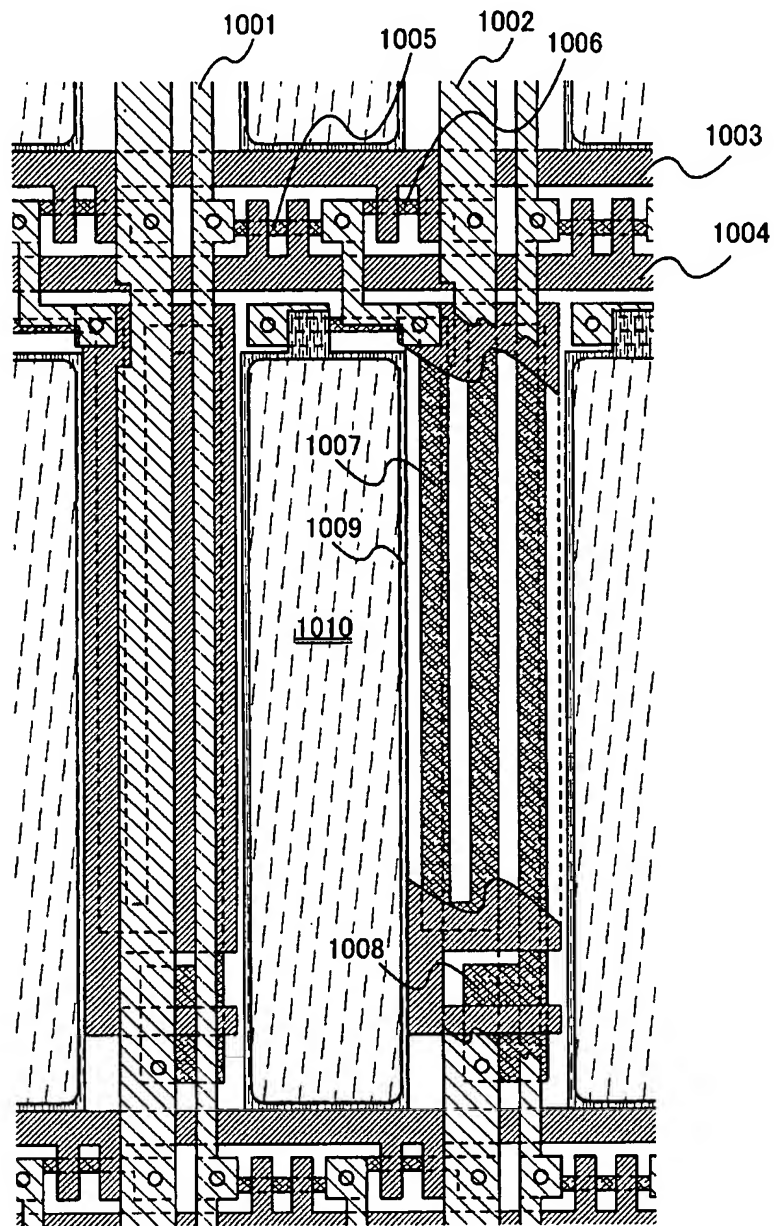


Fig. 5

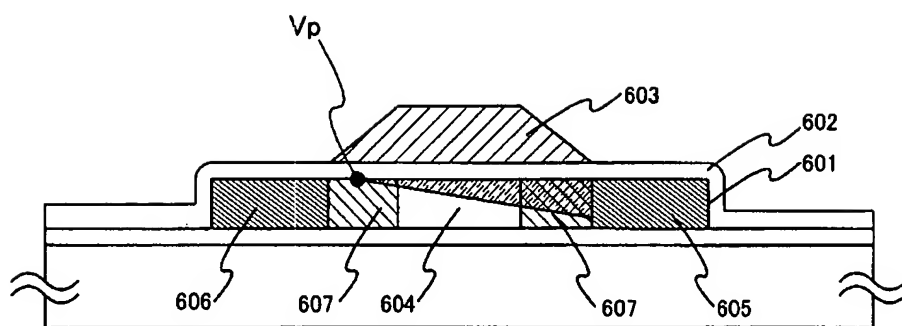


Fig. 6

Fig. 7A

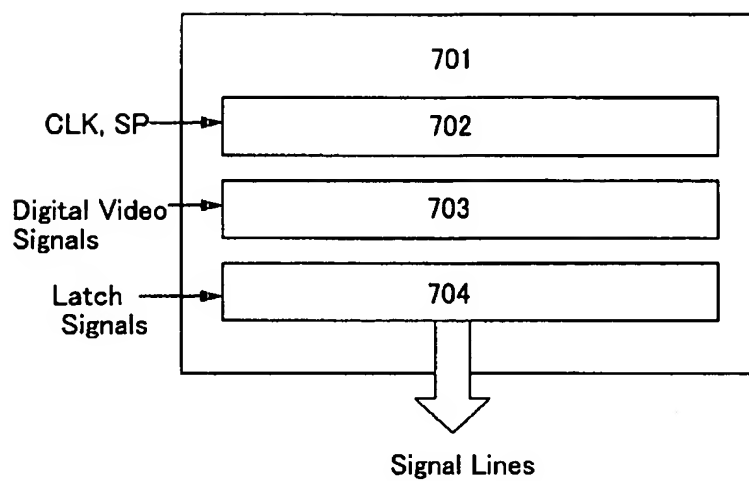
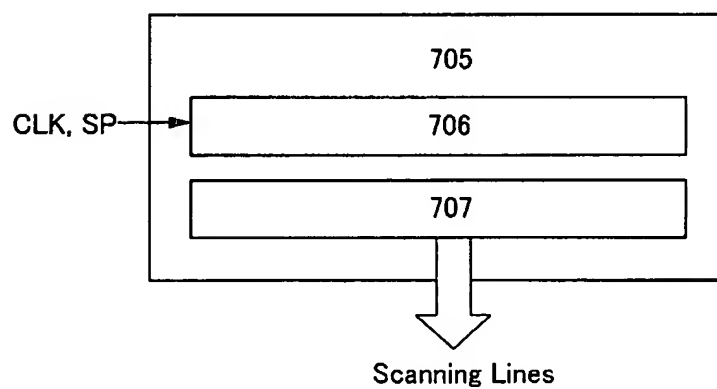


Fig. 7B



BEST AVAILABLE COPY

Fig. 8A

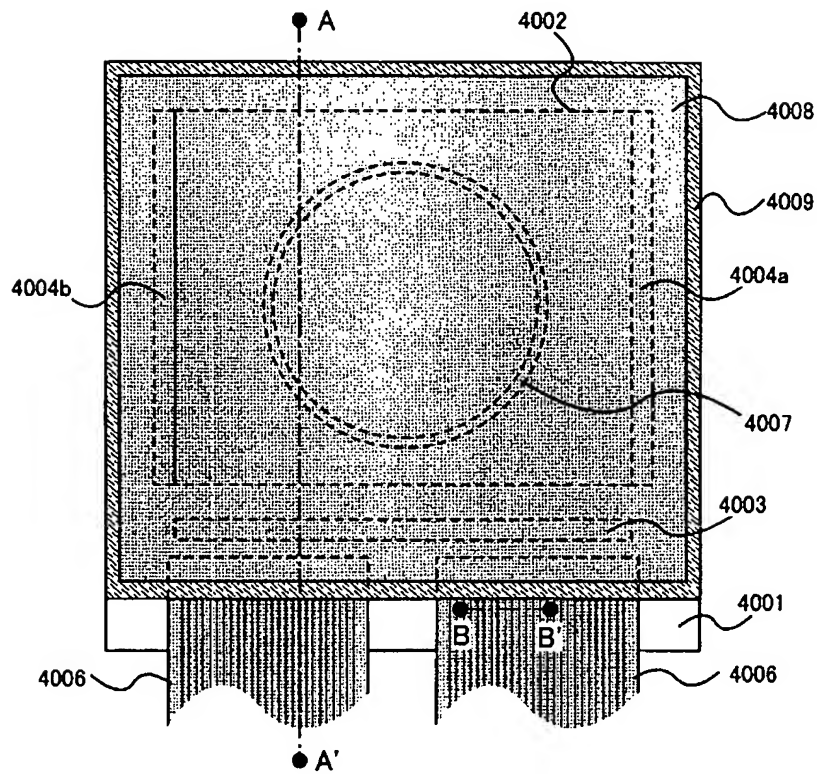


Fig. 8B

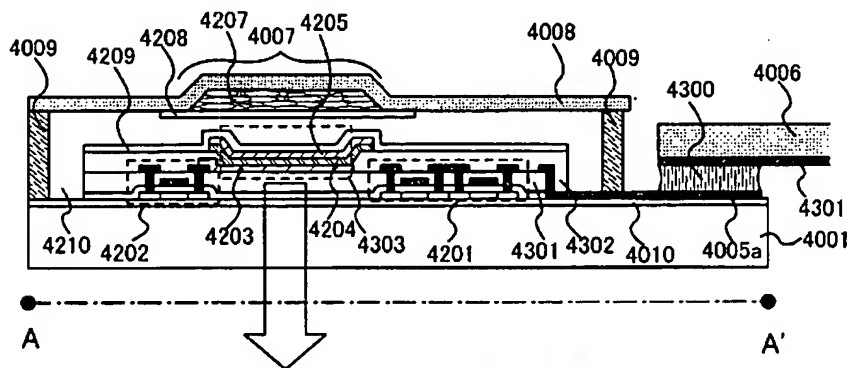
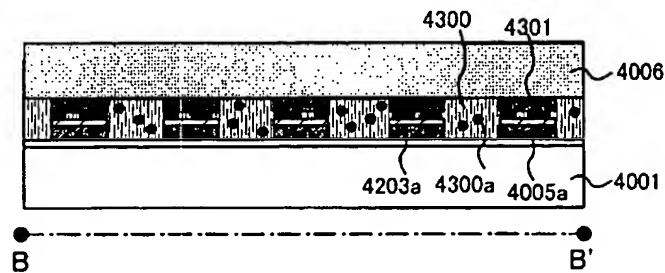


Fig. 8C



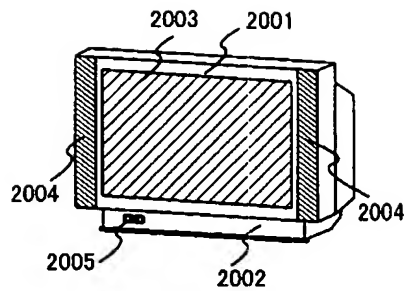


Fig. 9A

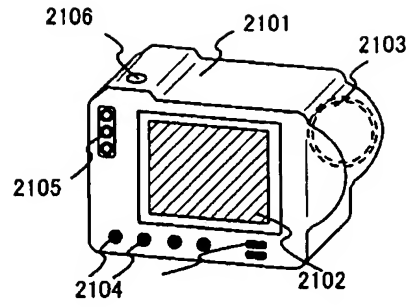


Fig. 9B

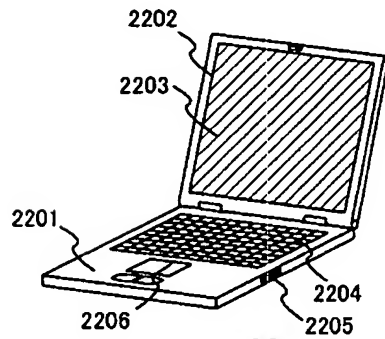


Fig. 9C

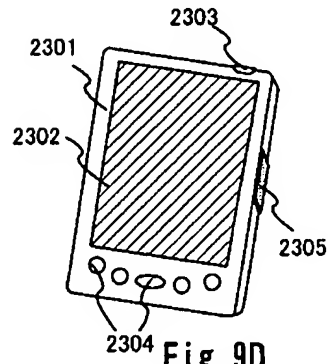


Fig. 9D

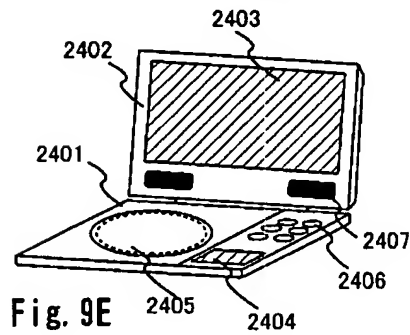


Fig. 9E

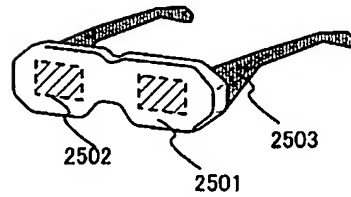


Fig. 9F

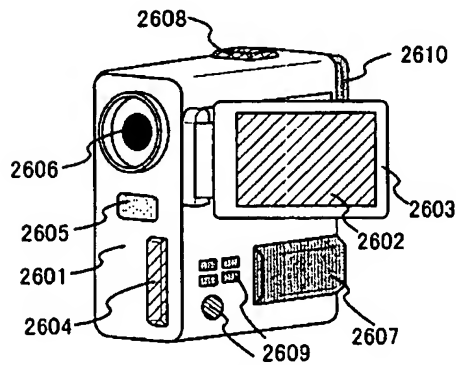


Fig. 9G

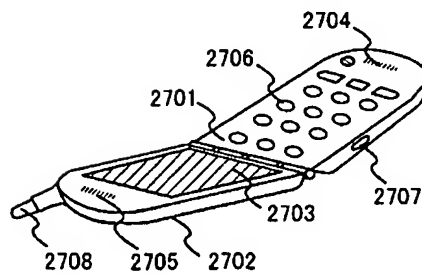


Fig. 9H



Fig. 10
(Prior Art)

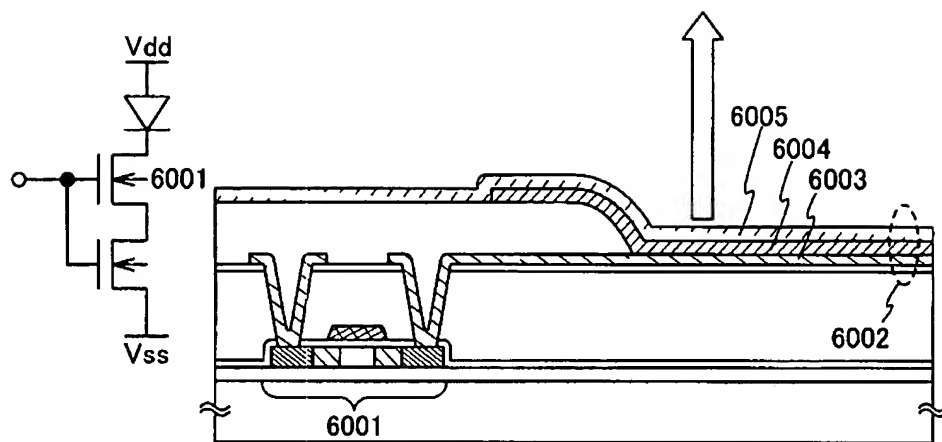


Fig. 11A

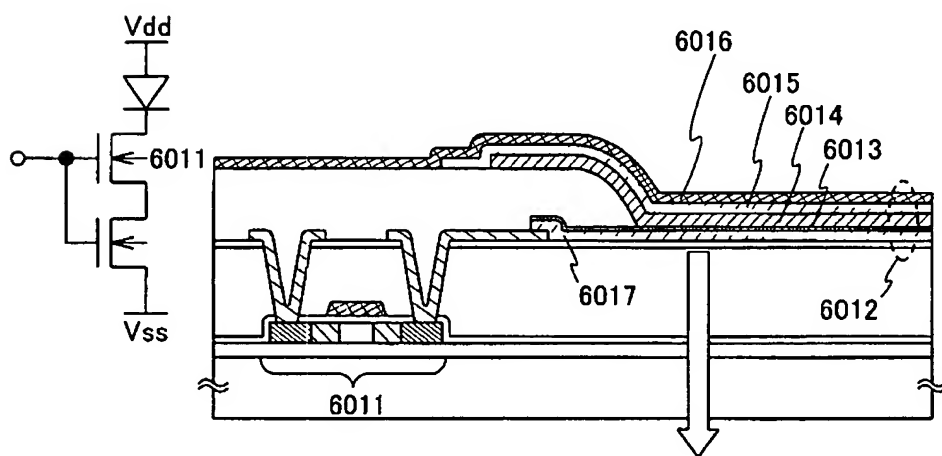


Fig. 11B

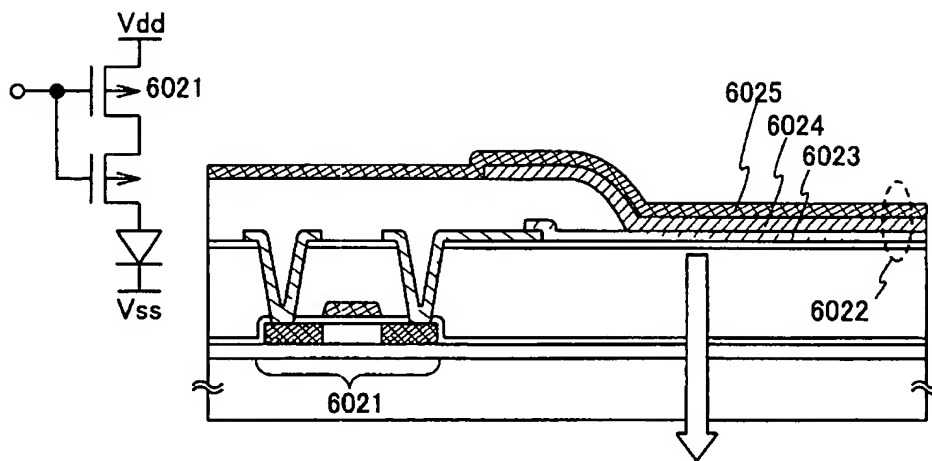


Fig. 12A

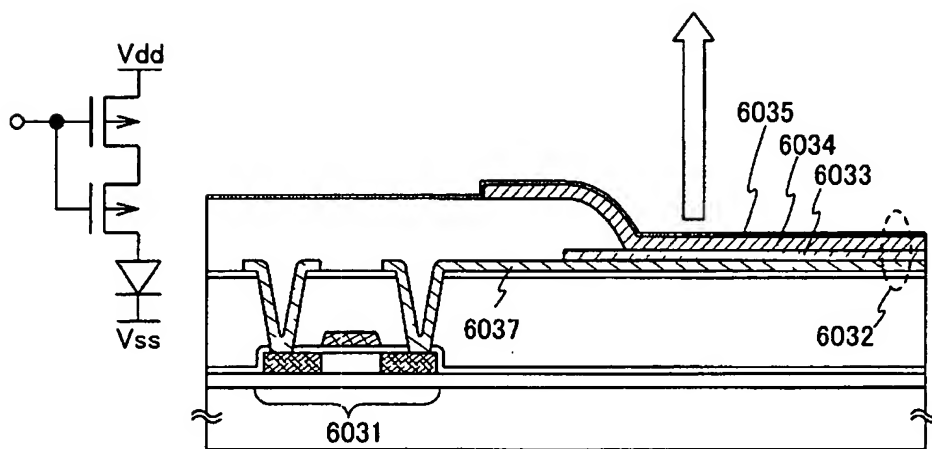


Fig. 12B

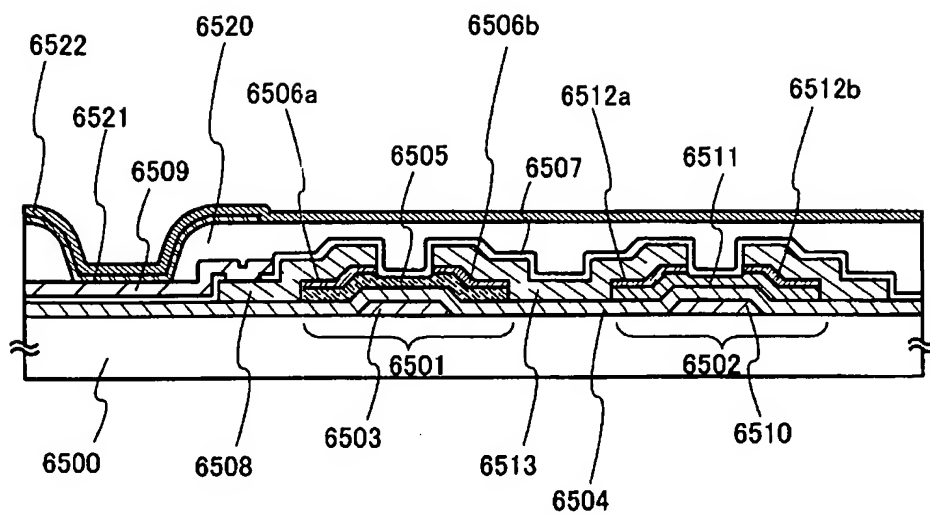


Fig. 13A

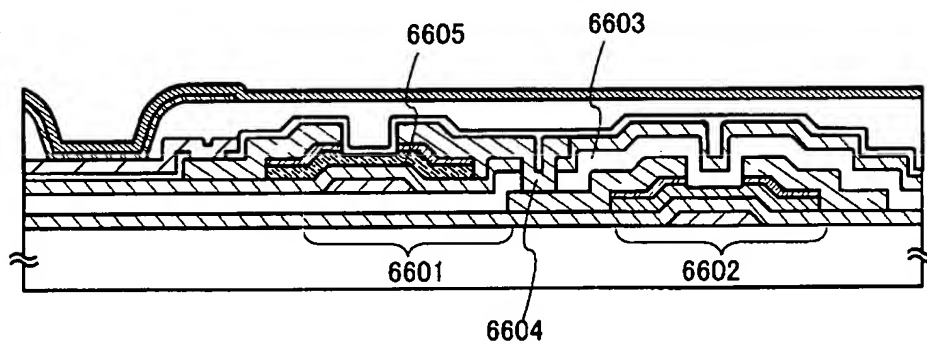


Fig. 13B

Fig. 14A

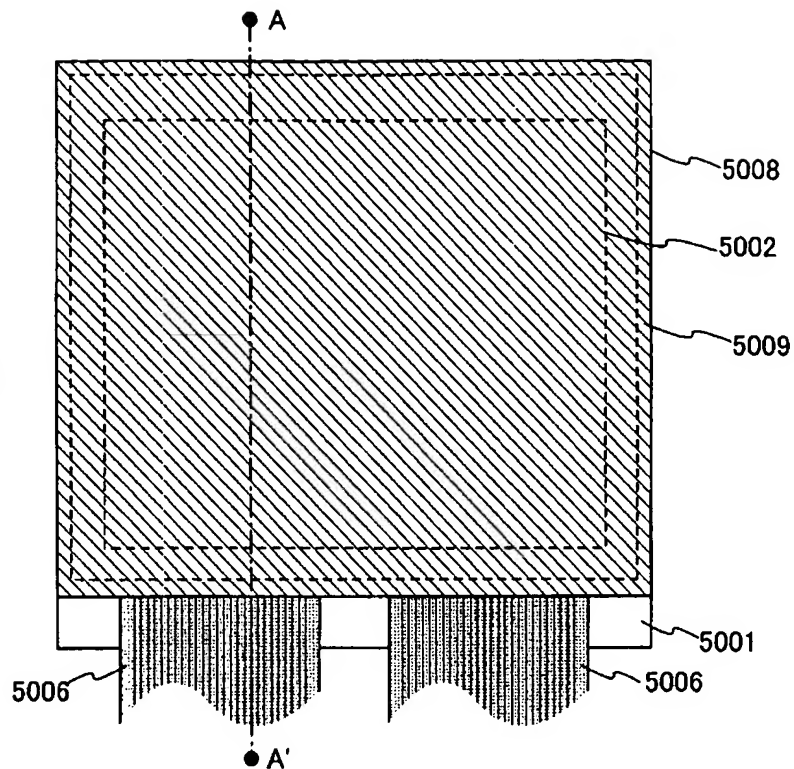
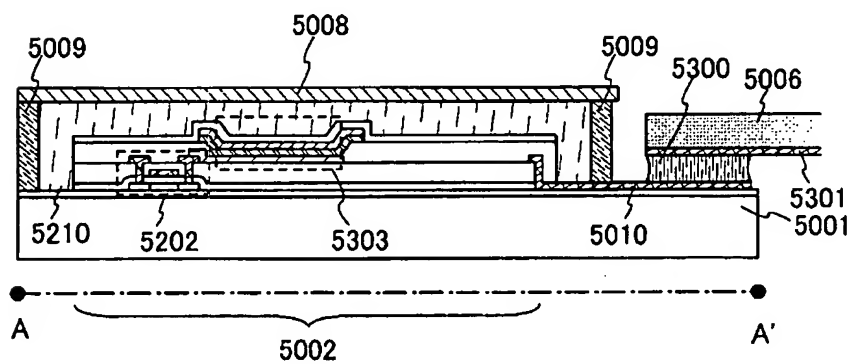


Fig. 14B



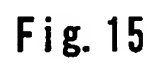


Fig. 15

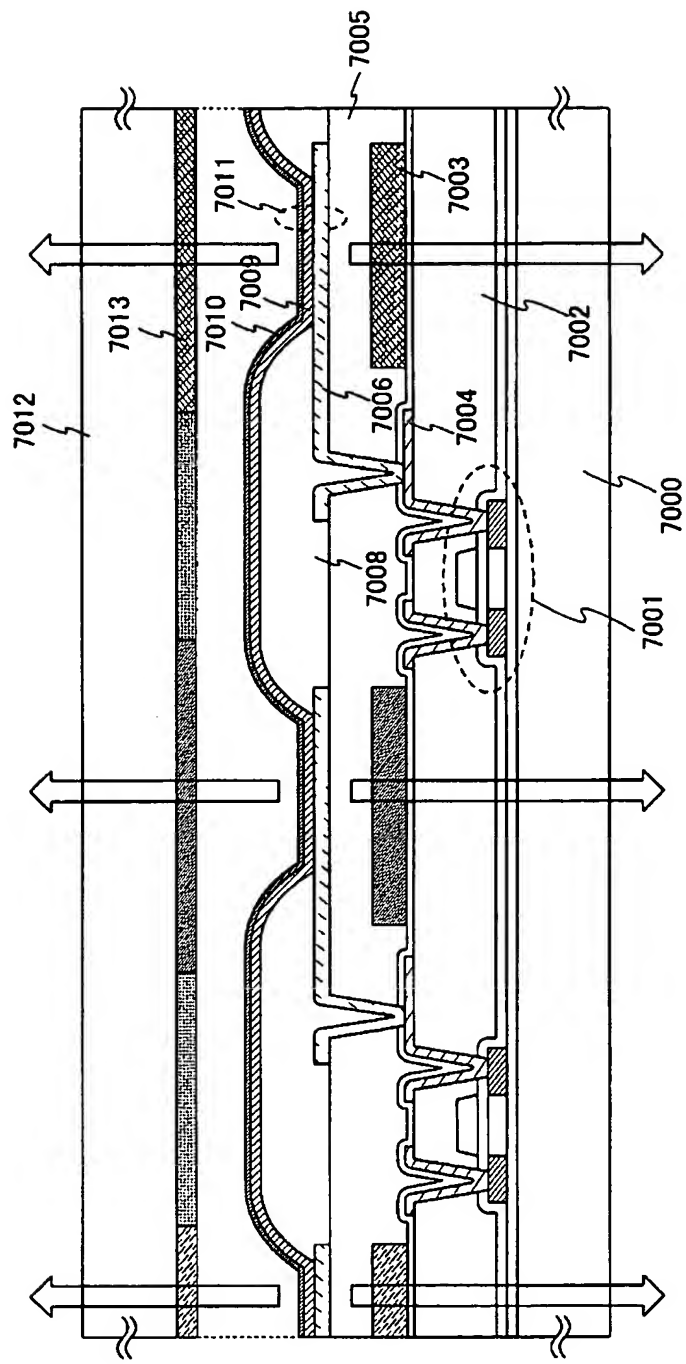


Fig. 16

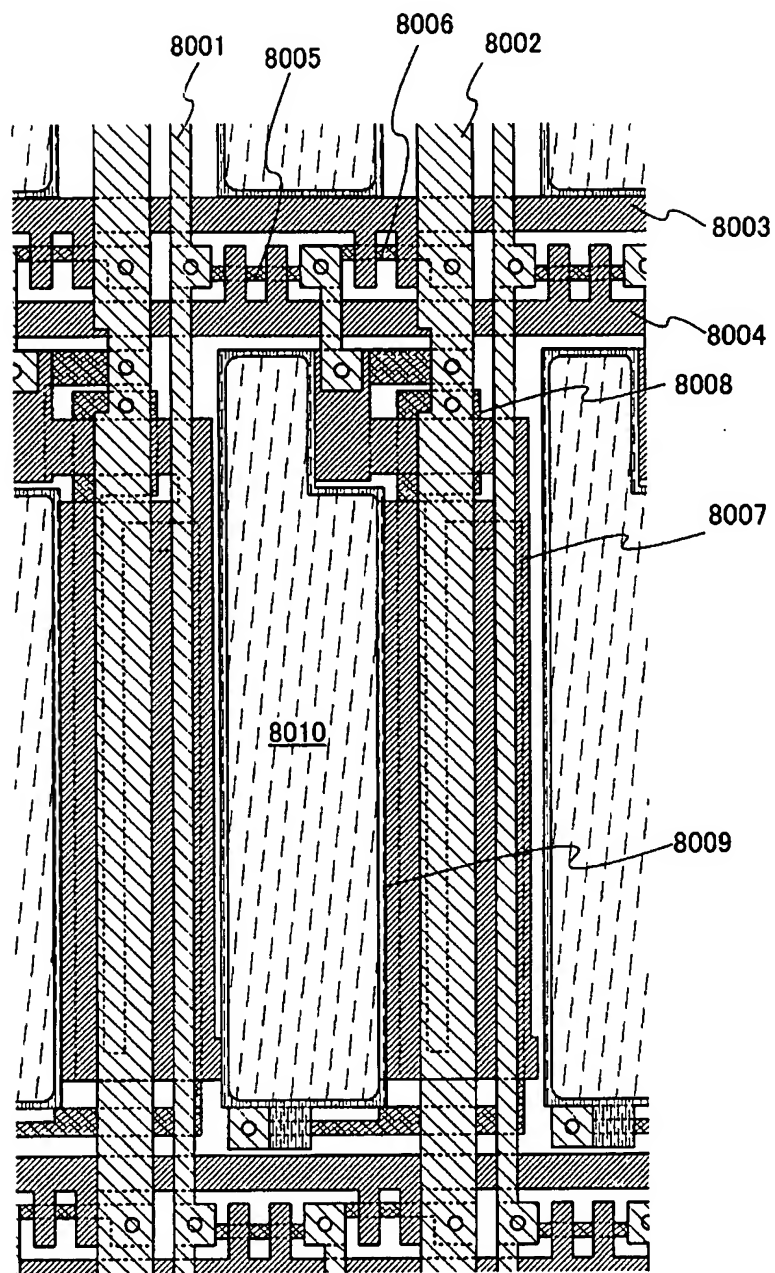


Fig. 17